

МОСКОВСКИЙ ФИЗИКО-ТЕХНИЧЕСКИЙ ИНСТИТУТ  
(НАЦИОНАЛЬНЫЙ ИССЛЕДОВАТЕЛЬСКИЙ УНИВЕРСИТЕТ)

Физтех-школа физики и исследований им. Ландау



## Лабораторная работа 1.3.1

Определение модуля Юнга на основе  
исследования деформаций растяжения и изгиба

Авторы:  
Петров Олег  
Б02-202

# 1 Аннотация

**Цель работы:** Экспериментально получить зависимость между напряжением и деформацией для двух простейших напряженных состояний упругих тел: одностороннего сжатия и чистого изгиба; по результатам эксперимента вычислить модуль Юнга.

**Оборудование:** в первой части - прибор Лермантова, проволока из исследуемого материала, зрительная трубка со шкалой, набор грузов, микрометр, рулетка; во второй части - стойка для изгибания балки, индикатор для измерения величин прогиба, набор исследуемых стержней, грузы, линейка, штангенциркуль.

## 2 Определение модуля Юнга по измерения растяжения проволоки

### 2.1 Теоретические сведения

Растяжение проволоки соответствует напряженному состоянию вдоль одной оси, которое описывается формулой:

$$\sigma = E\varepsilon, \quad \frac{F}{S} = E \frac{\Delta l}{l} \quad (1)$$

Измерения производятся на установке Лермантова. Направим зрительную трубку на зеркальце. . . . Тогда учитывая параксиальность углов, для расчета растяжения проволоки справедлива формула:

$$l = n \frac{r}{2h}, \quad (2)$$

где  $h$  - расстояние от шкалы до зеркальца,  $r$  - длина рычага,  $n$  - показания шкалы

### 2.2 Экспериментальная установка

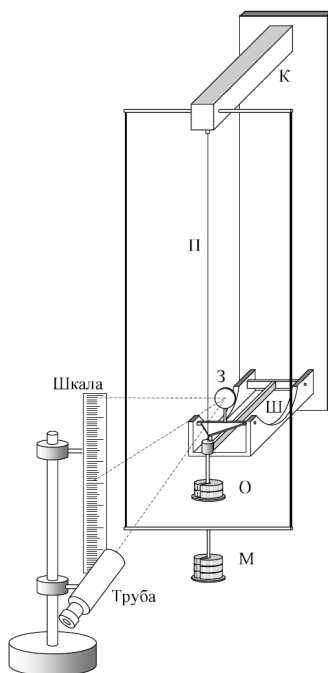


Рис. 1: Установка Лермантова и установка

Для определения модуля Юнга используется прибор Лермонтова, схема которого изображена на рис. 1. Верхний конец проволоки П, изготовленной из исследуемого материала, прикреплен к консоли К, а нижний - к цилиндру, которым оканчивается шарнирный кронштейн Ш. На этот же цилиндр опирается рычаг г, связанный с зеркальцем З. Таким образом, удлинение проволоки можно измерить по углу поворота зеркала. Натяжение проволоки можно менять, перекладывая грузы с площадки М на площадку О и наоборот. Такая система позволяет исключить влияние деформации кронштейна К на точность измерений, так как нагрузка на нем все время остается постоянной.

## 2.3 Результаты эксперимента и обработка данных

- Сначала измерим параметры системы:

$$g = 9.815 \pm 0.005 \text{ мс}^2, \quad h = 138 \pm 1 \text{ мм}, \quad r = 13 \pm 0.5 \text{ мм}, \quad d_{\text{проволки}} = 0.73 \pm 0.005 \text{ мм}$$

- По полученным значениям вычисляем площадь и ее погрешность:

$$S = \frac{\pi d^2}{4} = 41.910^2 \text{ мм}^2, \quad \sigma_S = S \frac{2\sigma_d}{d} = 0.6 \cdot 10^2 \text{ мм}^2, \quad \varepsilon_S = 1.4\%$$

- Измеряем длину проволоки  $l = 177 \pm 1 \text{ см}$ .
- Позаботимся о том, чтобы в процессе эксперимента не выйти за пределы области, где удлинение проволоки пропорционально ее натяжению. С учетом разрушительного напряжения:  $\sigma_{\text{разрушения}} = 900 \text{ Н} \cdot \text{мм}^{-2}$ . Рассчитаем предельную массу груза, которую можно подвесить, чтобы не выйти из диапазона рабочих напряжений:  
 $m_{\text{предельная}} = 0.3 \cdot \sigma_{\text{разрушения}} S / g = 11.3 \text{ кг}$ .
- С учетом полученного выше значения снимаем зависимость удлинения проволоки от массы грузов  $m$  при увеличении и уменьшении нагрузки. Данные заносим в таблицу ниже. Расчет  $\Delta l$  производим по формуле, а погрешность измерения  $\Delta l$  оцениваем по формуле:

$$\varepsilon_{\Delta l} = \sqrt{\left(\frac{\sigma_n}{n}\right)^2 + \left(\frac{\sigma_r}{r}\right)^2 + \left(\frac{\sigma_h}{h}\right)^2} \approx \varepsilon_r = 3.8\%, \quad \varepsilon_{\Delta m} = 0.2\%$$

№	$\Delta m \downarrow$ , гр	$m$ , гр	$P$ , Н	$n$ , мм	$\Delta l$ , мм
1	245.8	2444.4	23.99	22.2	1.046
2	245.5	2198.6	21.58	21.1	0.994
3	246.1	1953.1	19.17	20	0.942
4	245.7	1707	16.76	18.9	0.890
5	245.7	1461.3	14.34	17.6	0.829
6	245.6	1215.6	11.93	16.5	0.777
7	246.1	970	9.52	15.2	0.716
8	245.2	723.9	7.11	14.2	0.669
9	478.7	478.7	4.70	12.6	0.593

Таблица 1: Измерения величин при понижении нагрузки

№	$\Delta m \uparrow$ , гр	$m$ , гр	$P$ , Н	$n$ , мм	$\Delta l$ , мм
1	246.1	970	9.52	15	0.707
2	245.6	1215.6	11.93	16.3	0.768
3	245.7	1461.3	14.34	17.6	0.829
4	491.8	1953.1	19.17	19.9	0.937
5	245.5	2198.6	21.58	21.1	0.994
6	245.8	2444.4	23.99	22.2	1.046

Таблица 2: Измерения величин при повышении нагрузки

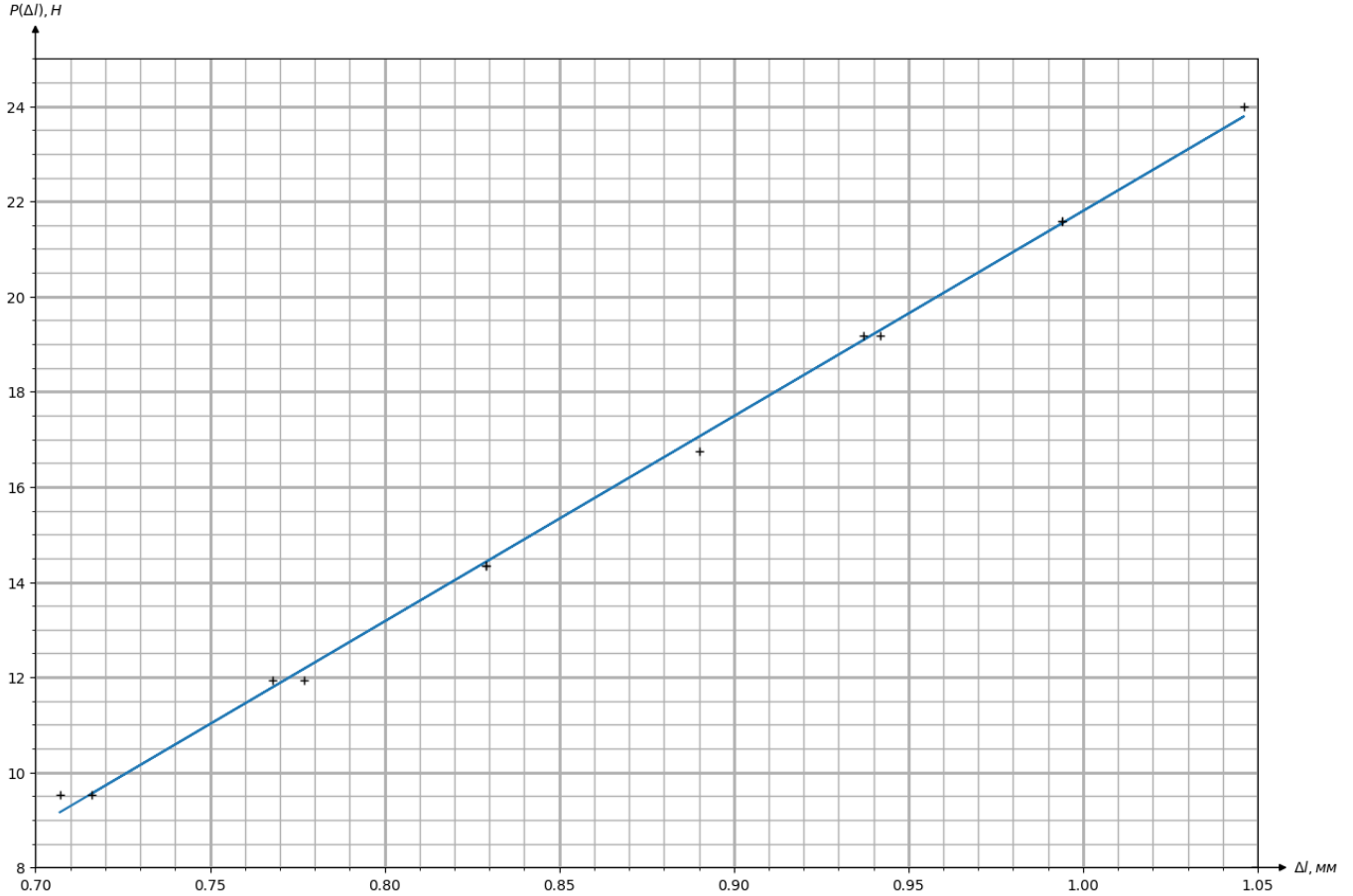


Рис. 2: График зависимости  $P(\Delta l)$  от  $\Delta l$

- По полученным данным строим график зависимости  $P(\Delta l)$  методом наименьших квадратов (МНК). Также учтем что в недеформированном состоянии проволока, как правило, изогнута, и при малых нагрузках ее удлинение определяется не растяжением, а выпрямлением. Поэтому исключим начальный участок зависимости из обработки данных.

По формулам МНК находим коэффициент наклона графика для прямой и его случайную погрешность. Для коэффициента наклона графика имеем:

$$k = \frac{\langle P\Delta l \rangle - \langle P \rangle \langle \Delta l \rangle}{\langle \Delta l^2 \rangle - \langle \Delta l \rangle^2} = 43.1 \text{ Н} \cdot \text{мм}$$

Для систематической и случайной относительной погрешности имеем:

$$\varepsilon_k^{\text{случ}} = \frac{1}{k\sqrt{N-2}} \sqrt{\frac{\langle P^2 \rangle - \langle P \rangle^2}{\langle \Delta l^2 \rangle - \langle \Delta l \rangle^2} - k^2} = 4.3\%, \quad \varepsilon_k^{\text{сист}} = \sqrt{\varepsilon_P^2 + \varepsilon_{\Delta l}^2} \approx \varepsilon_{\Delta l} = 3.8\%$$

$$\varepsilon_k = \sqrt{\varepsilon_{\text{сист}}^2 + \varepsilon_{\text{случ}}^2} = 5.7\%$$

- С учетом формул выше получаем, как выражается модуль Юнга через коэффициент наклона графика, и выражение для его погрешности:

$$E = \frac{kl}{S} = 180 \text{ ГПа}$$

$$\varepsilon_E = \sqrt{\varepsilon_S^2 + \varepsilon_k^2 + \varepsilon_l^2} \approx \varepsilon_k = 5.8\%, \quad \sigma_E = \varepsilon \cdot E = 1 \text{ ГПа}$$

По итогу получаем значение для модуля Юнга проволоки:  $E = 180 \pm 10 \text{ ГПа}$  и относительной погрешность  $\varepsilon_E = 6\%$

## 3 Определение модуля Юнга по измерению изгиба балки

### 3.1 Теоретические сведения

Модуль Юнга материала стержня  $E$  связан со стрелой прогиба  $y_{\max}$  как:

$$E = \frac{Pl^3}{4ab^3y_{\max}} \quad (3)$$

где  $P$  - нагрузка на стержень,  $l$  - расстояние между точками опоры,  $a$  - ширина балки,  $b$  - высота балки

### 3.2 Экспериментальная установка

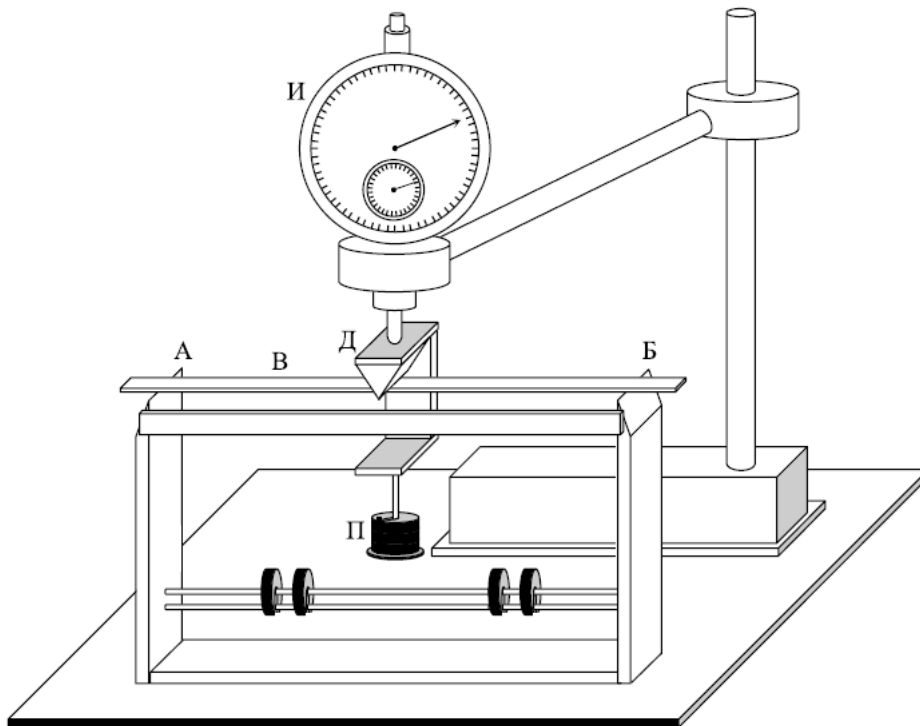


Рис. 3: Установка Лермантова и установка

Экспериментальная установка состоит из прочной стойки с опорными призмами А и Б (рис. 2). На ребра призм опирается исследуемый стержень (балка) В. В середине стержня на призме Д подвешена площадка П с грузами. Измерять стрелу прогиба можно с помощью индикатора И, укрепляемого на отдельной штанге. Полный оборот большой стрелки индикатора соответствует 1 мм и одному делению малого циферблата.

### 3.3 Результаты эксперимента и обработка данных

- Измерим расстояние между опорами  $l = 51 \pm 0.5 \text{ мм}$ ,  $\varepsilon_l = 1\%$
- Измерим высоту  $d$  и ширину  $a$  балок из различных материалов и занесем данные в таблицу.

$N1, \text{латунь}$	1	2	3	4	5	6	7	8	9	10
$a, \text{ см}$	2.16	2.14	2.14	2.14	2.14	2.14	2.15	2.14	2.14	2.14
$b, \text{ см}$	0.38	0.39	0.39	0.39	0.39	0.38	0.39	0.39	0.39	0.39
$N2, \text{сталь}$	1	2	3	4	5	6	7	8	9	10
$a, \text{ см}$	2.09	2.1	2.12	2.12	2.12	2.14	2.11	2.11	2.12	2.11
$b, \text{ см}$	0.37	0.375	0.37	0.37	0.37	0.37	0.37	0.37	0.37	0.37

За истинное значение примем среднее по всей выборке. Погрешности измерений оцениваем по формулам:

$$\sigma_{\text{случ}}^a = \sqrt{\sum_i (a_i - \langle a \rangle)^2 / N(N-1)}, \quad \sigma_{\text{сист}}^a = \Delta a$$

$$\sigma_a = \sqrt{\sigma_{\text{случ}}^2 + \sigma_{\text{сист}}^2}$$

Получаем значения для латуни:  $a_{\text{лат}} = 2.143 \pm 0.005 \text{ см}$ ,  $b_{\text{лат}} = 0.390 \pm 0.005 \text{ см}$  и для относительных погрешностей имеем:  $\varepsilon_{a_{\text{лат}}} = 0.2\%$ ,  $\varepsilon_{b_{\text{лат}}} = 1.2\%$

Получаем значения для стали:  $a_{\text{сталь}} = 2.118 \pm 0.005 \text{ см}$ ,  $b_{\text{сталь}} = 0.370 \pm 0.005 \text{ см}$  и для относительных погрешностей имеем:  $\varepsilon_{a_{\text{сталь}}} = 0.2\%$ ,  $\varepsilon_{b_{\text{сталь}}} = 1.3\%$

Тогда для моментов инерции поперечного сечения балки относительно оси, проходящей через среднюю линию балки имеем:

$$I = \frac{ab^3}{12}, \quad \varepsilon_I = \sqrt{\varepsilon_a^2 + 9\varepsilon_b^2} \approx 3\varepsilon_b$$

Значение для латуни:  $I_{\text{лат}} = 10.5 \pm 0.4 \cdot 10^{-3} \text{ см}^4$ ,  $\varepsilon_{I_{\text{лат}}} = 3.6\%$

Значение для стали:  $I_{\text{сталь}} = 8.9 \pm 0.3 \cdot 10^{-3} \text{ см}^4$ ,  $\varepsilon_{I_{\text{сталь}}} = 4.0\%$

- Кладем исследуемую балку на стойку. Устанавливаем индикатор в центре балки и снимаем зависимость стрелы прогиба  $\Delta y_{\text{max}}$  от величины нагрузки  $P$ . Проделываем эти измерения при возрастающей и убывающей нагрузке, заносим данные в таблицу. Заносим эти данные в таблицу и строим по этим точкам график методом наименьших квадратов (МНК).

$m, \text{ гр}$	$\Delta y_{\text{max}} \uparrow, \text{ см}$	$P, \text{ Н}$	$y_{\text{max}}, \text{ см}$	$m, \text{ гр}$	$\Delta y_{\text{max}} \downarrow, \text{ см}$	$P, \text{ Н}$	$y_{\text{max}}, \text{ см}$
482.5	1.15	4.736	1.15	478.2	-1.17	28.885	7.21
503.1	1.23	9.674	2.38	511	-1.24	24.191	6.04
501.3	1.28	14.595	3.66	466.7	-1.13	19.176	4.8
466.7	1.14	19.176	4.8	501.3	-1.23	14.595	3.67
511	1.25	24.191	6.05	503.1	-1.23	9.674	2.44
478.2	1.16	28.885	7.21	482.5	1.14	4.736	1.21

Таблица 3: Величина прогиба в зависимости от массы при повышении  $\uparrow$  и при понижении массы  $\downarrow$  для латунной балки

- Исследуем, насколько существенна зависимость результата от положения точки приложения изгибающей силы  $P$ . Сместим т. давления на 2-3 см от середины балки проведем аналогичные измерения. Построим по этим точкам прямую на том же графике пользуясь (МНК).

$m, \text{гр}$	$\Delta y_{\max}, \text{см}$	$P, \text{Н}$	$y_{\max}, \text{см}$
482.5	1.15	4.736	1.15
503.1	1.22	9.674	2.37
501.3	1.25	14.595	3.62
466.7	1.13	19.176	4.75
511	1.23	24.191	5.98
478.2	1.12	28.885	7.1

Таблица 4: Величина прогиба в зависимости от массы при при смещении т. приложения сил на 2-3 см

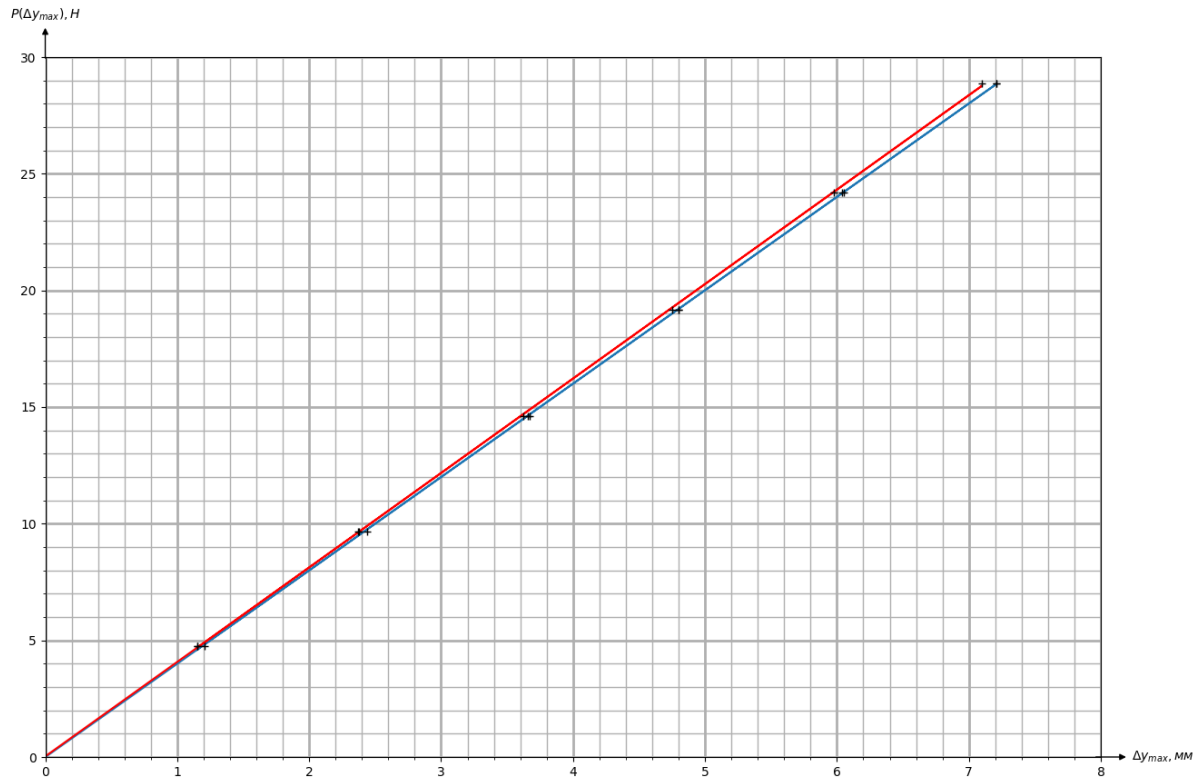


Рис. 4: График зависимости  $P(y_{\max})$  от  $y_{\max}$  для латунной балки при прямом и обратном ходе и при смещении т. давления

Как видно точки первого и второго графика лежат практически на одной прямой, коэффициенты наклона находим по формулам:

$$k = \frac{\langle P \Delta y_{\max} \rangle - \langle P \rangle \langle \Delta y_{\max} \rangle}{\langle y_{\max}^2 \rangle - \langle y_{\max} \rangle^2}$$

Учтем, что  $\varepsilon_{\Delta y_{\max}} \approx 1.6\%$ , а  $\varepsilon_m \approx 0.01\%$

Итоговую погрешность измерения  $\varepsilon_{y_{\max}}$  посчитаем как усредненную по всем значениям  $N$   
 $\varepsilon_{y_{\max}} v = \langle \sqrt{N} \varepsilon_{\Delta y_{\max}} \rangle = 3.6\%$   
 Для оценки систематической и случайной относительной погрешности пользуемся формулами получаем:

$$\varepsilon_k^{\text{случ}} = \frac{1}{k\sqrt{N-2}} \sqrt{\frac{\langle P^2 \rangle - \langle P \rangle^2}{\langle y_{\max}^2 \rangle - \langle y_{\max} \rangle^2} - k^2} = 0.3\%, \quad \varepsilon_k^{\text{сист}} = \sqrt{\varepsilon_P^2 + \varepsilon_{y_{\max}}^2} \approx \varepsilon_{y_{\max}} = 3.6\%$$

$$\varepsilon_k = \sqrt{\varepsilon_{\text{сист}}^2 + \varepsilon_{\text{случ}}^2} \approx \varepsilon_{y_{\max}} = 3.6\%$$

Для итоговых значений коэффициентов наклона имеем:

$$k_{\text{латунь}} = 4.00 \pm 0.14 \text{ Н/см}, \quad k_{\text{латунь,сдвиг}} = 4.04 \pm 0.14 \text{ Н/см}$$

Как видно, коэффициенты наклона при смещении на 2-3 см и в середине практически совпадают и находятся в пределах погрешности друг друга.

- Теперь посчитаем модуль Юнга по формуле 3:

$$E_{\text{латунь}} = \frac{kl^3}{48I_{\text{латунь}}} = 105 \text{ ГПа}, \quad \varepsilon_E = \sqrt{\varepsilon_k^2 + 9\varepsilon_l^2 + \varepsilon_I^2} = 5\%$$

По итогу получаем значение:  $E_{\text{латунь}} = 105 \pm 5 \text{ ГПа}$ .

- Аналогичные измерения зависимости нагрузки от стелы прогиба проводим для балки из стали. Данные заносим в таблицу:

$m, \text{гр}$	$\Delta y_{\max}, \text{см}$	$P, \text{Н}$	$y_{\max}, \text{см}$
482.5	0.65	4.736	0.65
503.1	0.7	9.674	1.35
501.3	0.67	14.595	2.02
466.7	0.63	19.176	2.65
511	0.7	24.191	3.35
478.2	0.65	28.885	4

Таблица 5: Величина прогиба в зависимости от массы для стальной балки

По полученным данным строим график методом наименьших квадратов(МНК).  
 Пользуясь формулами для МНК аналогично случаю латунной балки находим значение коэффициента наклона и его погрешность:

$$k = 7.2 \pm 0.4 \text{ Н/см}, \quad \varepsilon_k = 6\%$$

Теперь мы можем рассчитать модуль Юнга для стальной балки и его погрешность:

$$E_{\text{сталь}} = \frac{kl^3}{48I_{\text{сталь}}} = 224 \text{ ГПа}, \quad \varepsilon_E = \sqrt{\varepsilon_k^2 + 9\varepsilon_l^2 + \varepsilon_I^2} = 7\%$$

По итогу получаем значение  $E_{\text{сталь}} = 224 \pm 15 \text{ ГПа}$ .





Рис. 5: График зависимости  $P(y_{max})$  от  $y_{max}$  для стальной балки

## 4 Выводы

В результате выполнения работы было подтверждено несколько теоретических зависимостей. Получены ожидаемые линейные зависимости между стрелой прогиба и весом нагрузки. В первой части работы было получено значение модуля Юнга проволоки:  $E = 180 \pm 10$  ГПа, которое в пределах погрешности  $\varepsilon_E = 6\%$  совпадает с табличным значением для стали и железа. Во второй части работы получены значения для модулей Юнга стали  $E_{\text{сталь}} = 224 \pm 15$  ГПа и латуни  $E_{\text{латунь}} = 105 \pm 5$  ГПа соответственно, которые совпадают с табличными значениями в пределах погрешности.